

磁気流体力学シミュレーションから探る 原始惑星系円盤の温度構造

森 昇志 (東北大学 学振PD)

内容

研究背景

- なぜ原始惑星系円盤を研究するのか
- 円盤の温度構造の重要性
- 円盤の温度構造 – 古典的描像
- 磁気流体力学に基づく原始惑星系円盤の描像

我々の研究

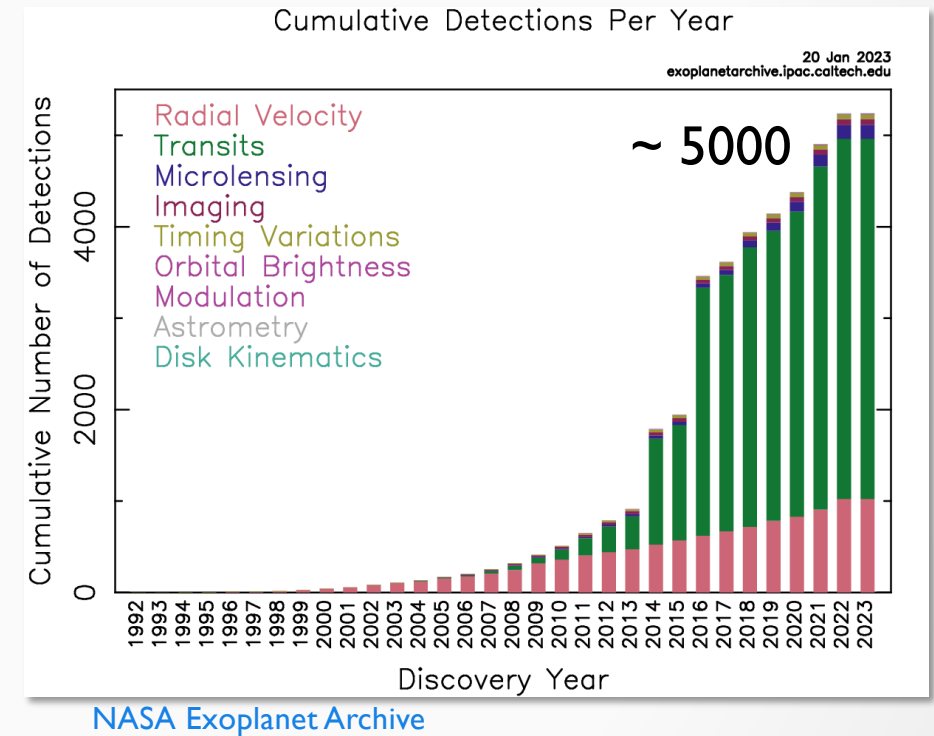
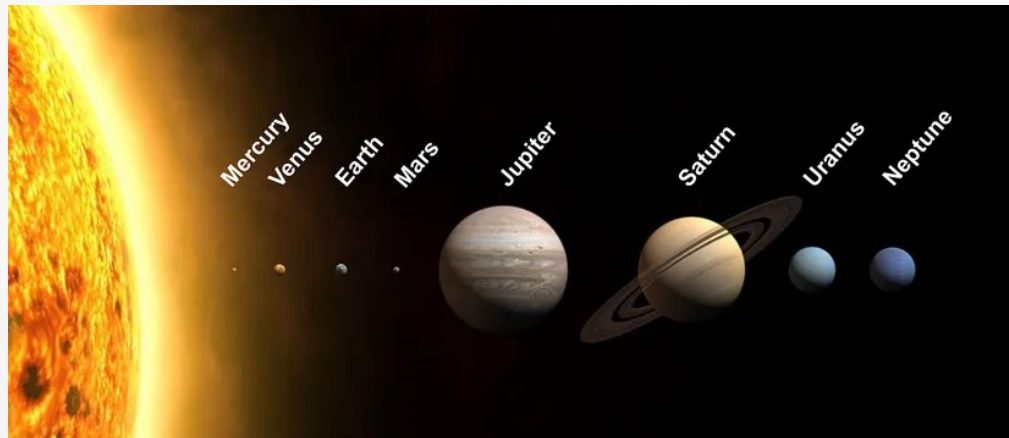
- 磁気降着層流円盤における円盤の温度構造
- 局所磁気流体力学計算
- スノーラインの移動

なぜ原始惑星系円盤を研究するのか

どうやって惑星はできるのか？

地球はどうやってできたか？どれほど普遍的な存在か？

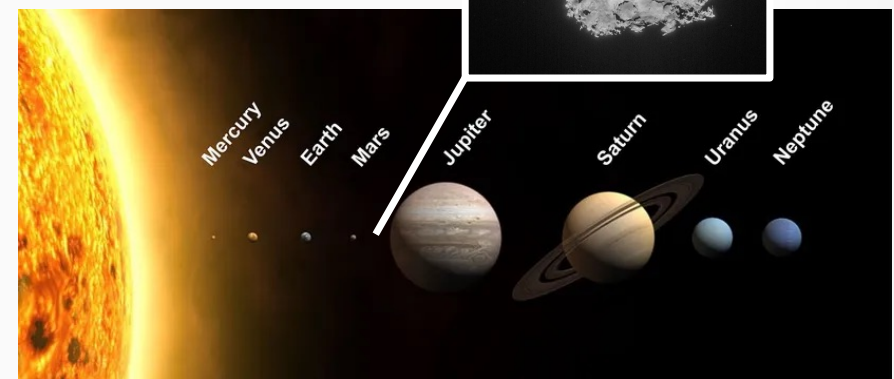
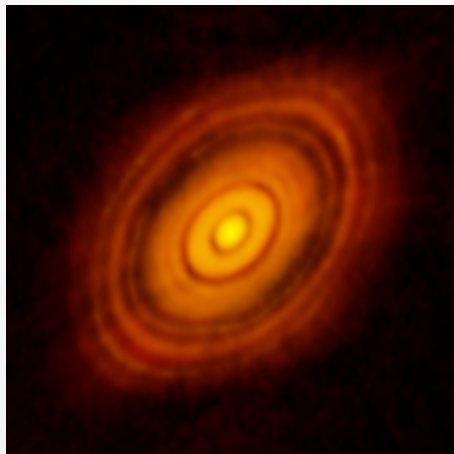
→ 惑星の形成過程を理解したい



惑星の形成過程 – ダストから惑星へ

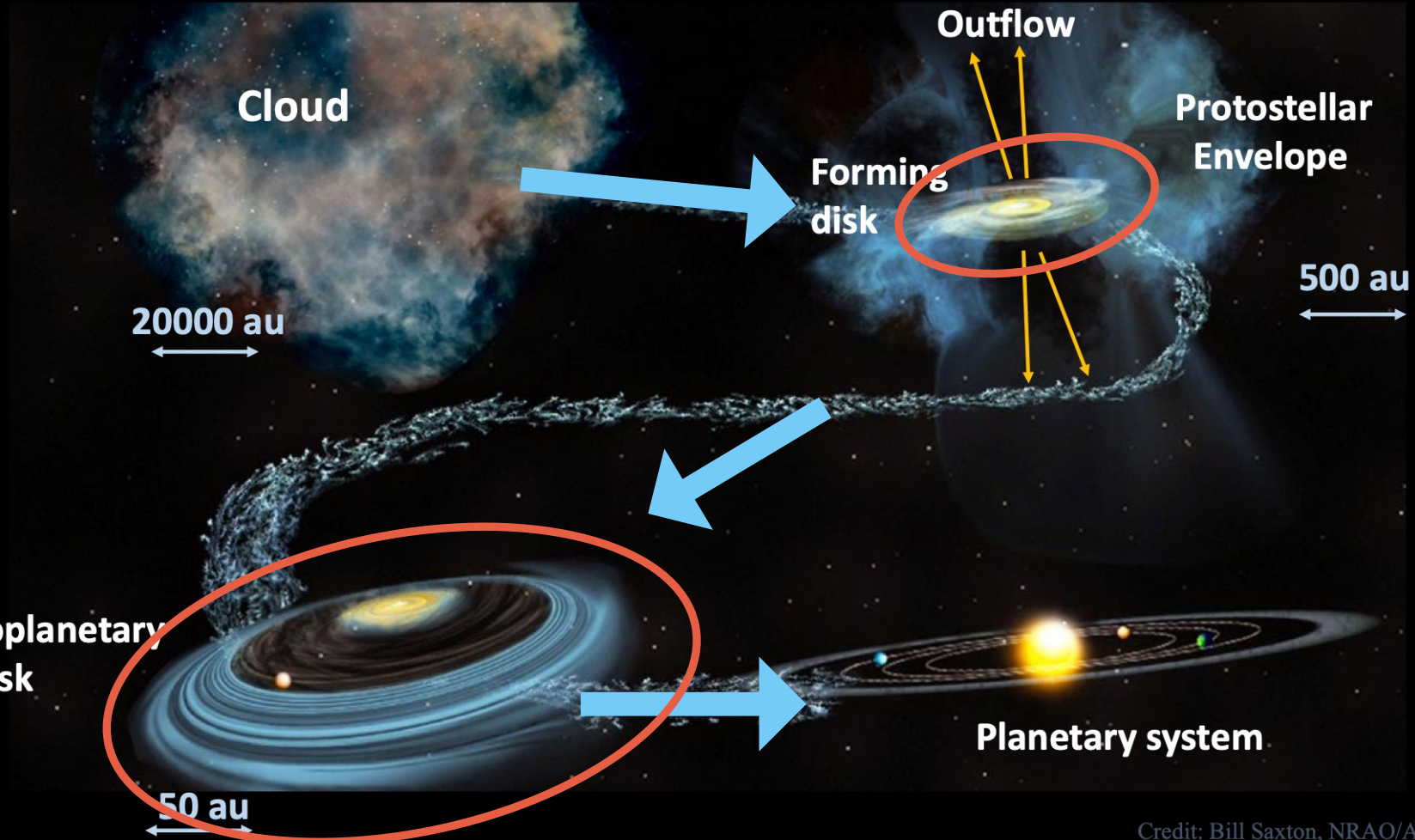
- 惑星は原始惑星系円盤の中で形成する
 - ダストから微惑星、原始惑星、惑星へ
- 観測は全てが見える訳ではない → 円盤の理論的研究
 - 円盤観測：原始惑星系円盤のダスト
 - 系外惑星・太陽系観測：形成後の惑星・天体

ALMA partnership et al. 2015



Credit: European Space Agency

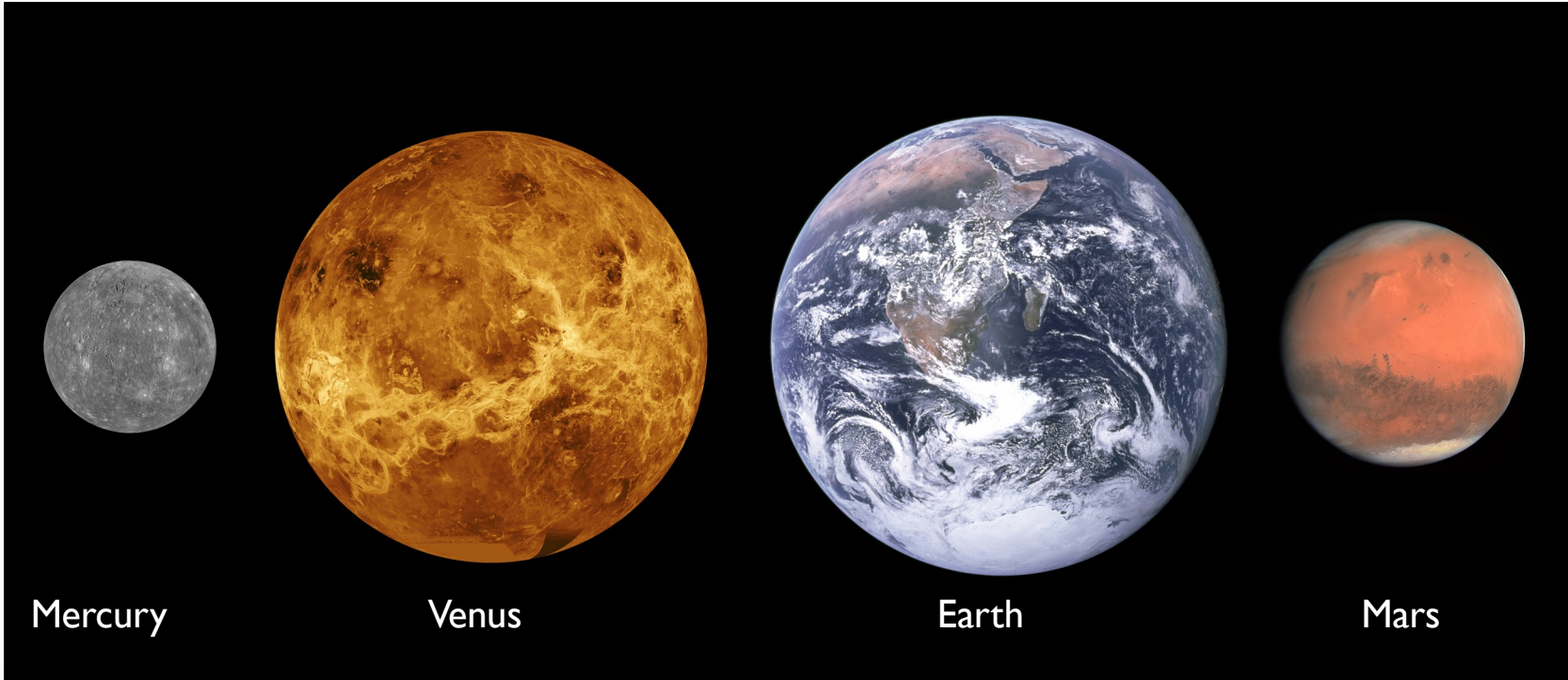
原始惑星系円盤とは 若い星周囲に形成される円盤状星雲



Credit: Bill Saxton, NRAO/AUI/NSF

円盤の温度構造の重要性： 惑星含水率に影響

太陽系の地球型惑星の含水率は低い



Mercury

Venus

Earth

Mars

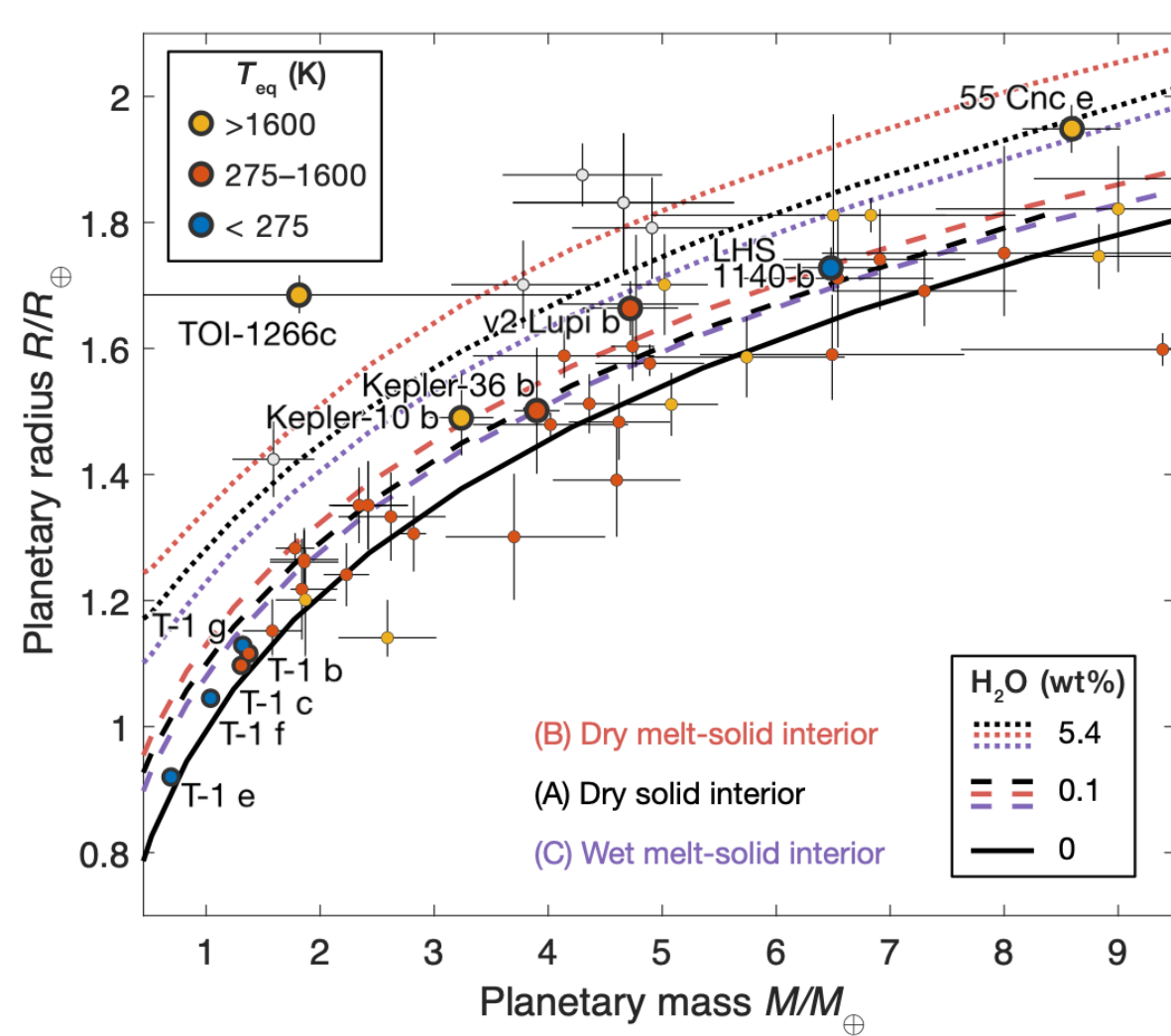
含水率はせいぜい $\lesssim 1 \text{ wt\%}$

(e.g., Nomura et al. 2014; Fei et al. 2017; Kurokawa et al. 2014; Elkins-Tanton et al. 2007; Lawrence et al. 2013)

c.f. 彗星・氷惑星 $> 10 \text{ wt\%}$

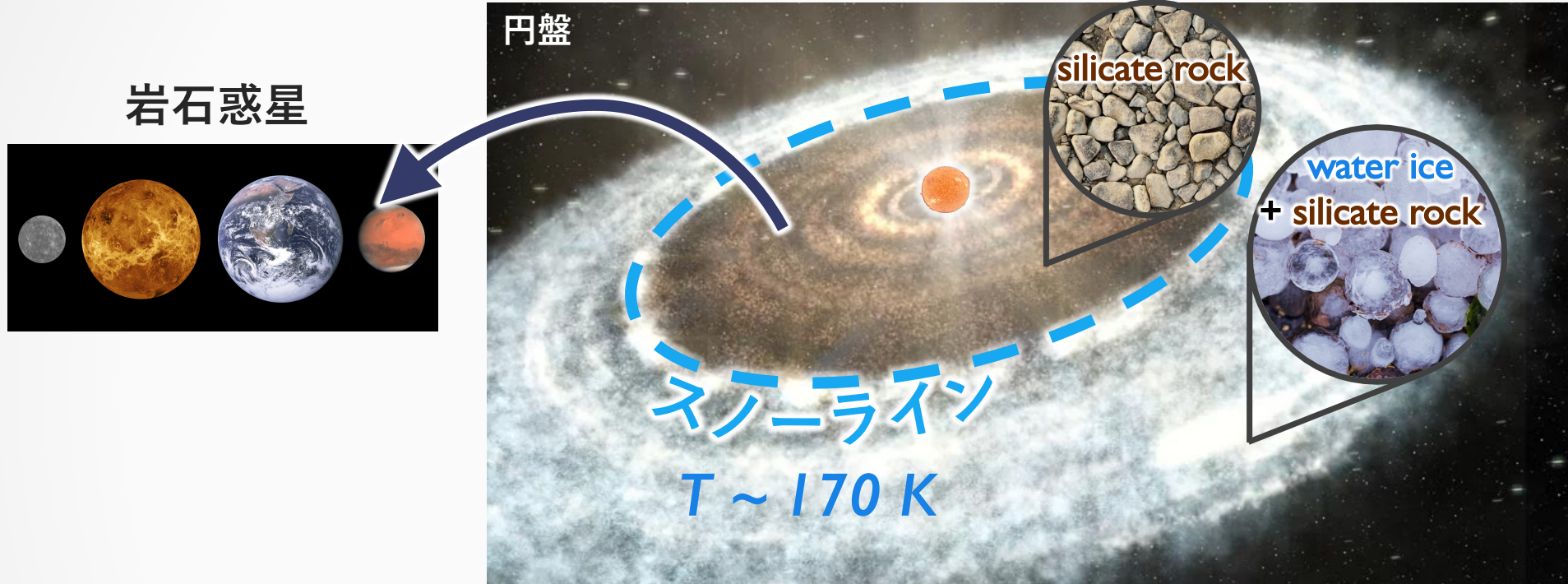
(e.g., Guillot 2005; A'Hearn et al. 2011; Rotundi et al. 2015)

系外惑星の含水率



Dorn & Lichtenberg 2020

原始惑星系円盤中のスノーライン



Protoplanetary Disk : Alexandra Angelich (NRAO/AUI/NSF)

形成場所とスノーラインの位置関係が惑星の初期含水率を決定づける
→ 原始惑星系円盤の温度構造を知る必要がある

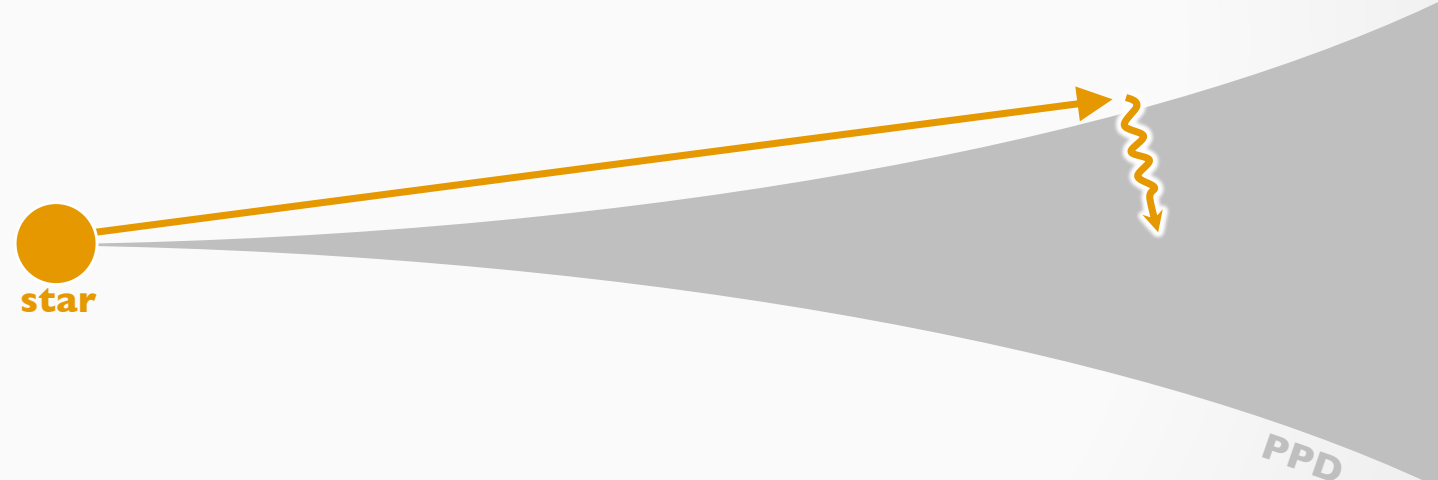
円盤の温度構造 – 古典的描像

円盤ガスの加熱源

- 照射加熱

(Calvet 1981; Chang & Goldreich 1997)

- 中心星が円盤表面を照らす
- 円盤表面からの再放射が円盤内部を暖める



円盤ガスの加熱源

- 照射加熱

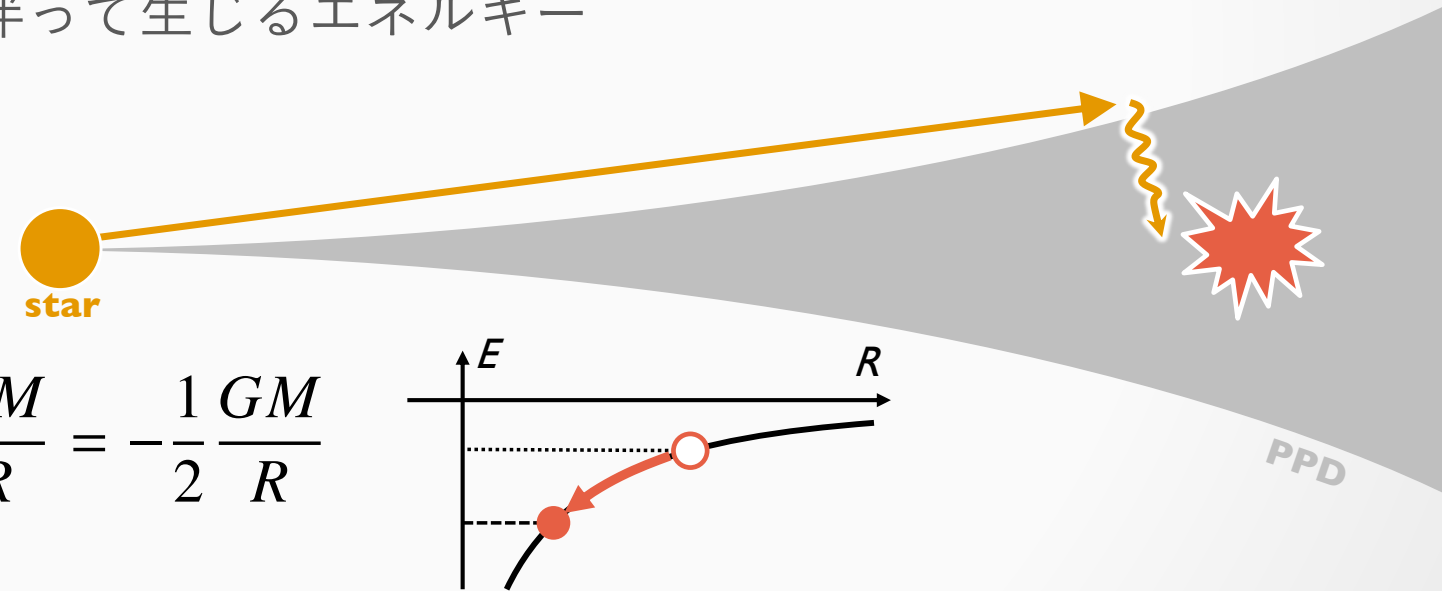
(Calvet 1981; Chang & Goldreich 1997)

- 中心星が円盤表面を照らす
- 円盤表面からの再放射が円盤内部を暖める

- 降着加熱

(Lynden-Bell & Pringle 74; Shakura & Sunyaev 1973)

- “降着エネルギー”の散逸
- 円盤ガスの降着に伴って生じるエネルギー



$$E(R) = \frac{1}{2}v_K^2(R) - \frac{GM}{R} = -\frac{1}{2}\frac{GM}{R}$$

Energy per mass at R

どうやって円盤ガスが降着するか？

- 観測的要請
 - 降着率 $\sim 10^{-9} - 10^{-7}$ Msun/yr (e.g., Hartmann 2016)
- 古典的描像：円盤が乱流的であれば乱流粘性で降着できる
 - 乱流渦同士の相互作用が実効的に粘性の働きをする
 - 必要な乱流強度：速度擾乱 $\delta v \sim 10\%$ 音速



どうやって降着エネルギーは散逸するのか？

- 古典的描像：乱流粘性が降着エネルギーを散逸（粘性加熱）
 - 粘性の摩擦熱によって円盤の回転エネルギーを熱へと変換



乱流粘性による加熱は効率的

- 熱は主に赤道面付近で開放される（加熱率が密度に比例）
- 光学的に厚いと冷却が非効率：ブランケット効果

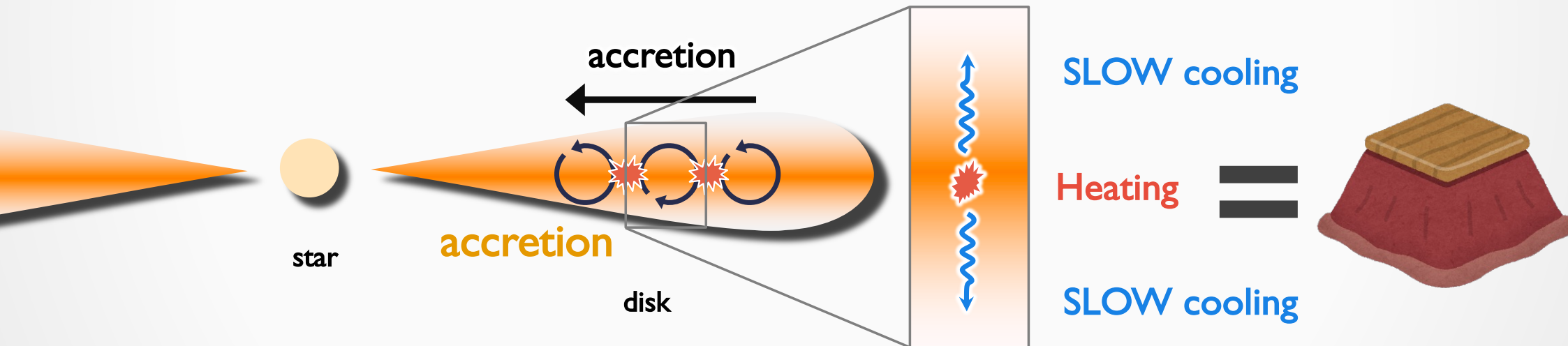
→ 円盤内部の温度を効率よく上昇



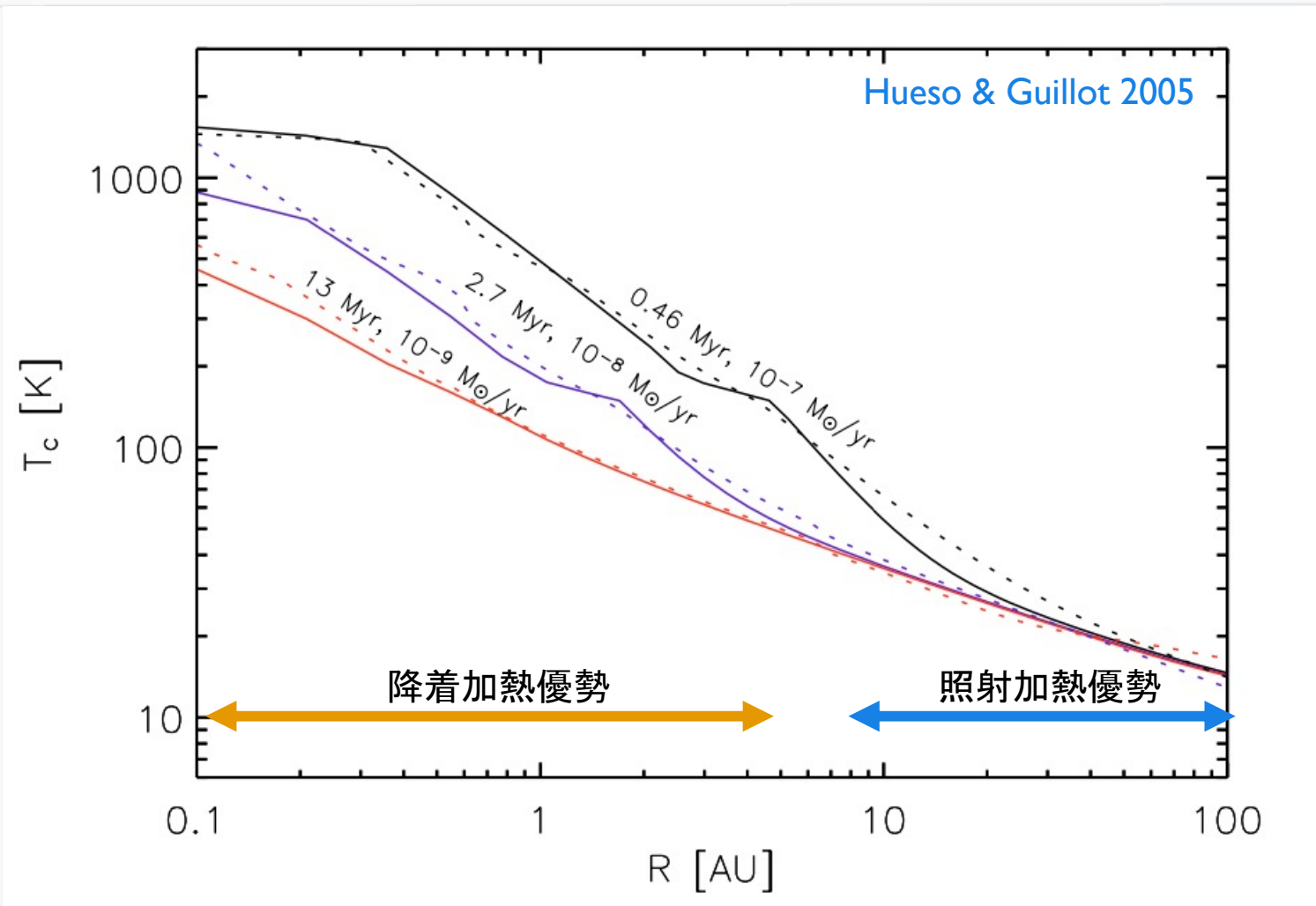
乱流粘性による加熱は効率的

- 熱は主に赤道面付近で開放される（加熱率が密度に比例）
- 光学的に厚いと冷却が非効率：ブランケット効果

→ 円盤内部の温度を効率よく上昇



円盤の温度モデルの例

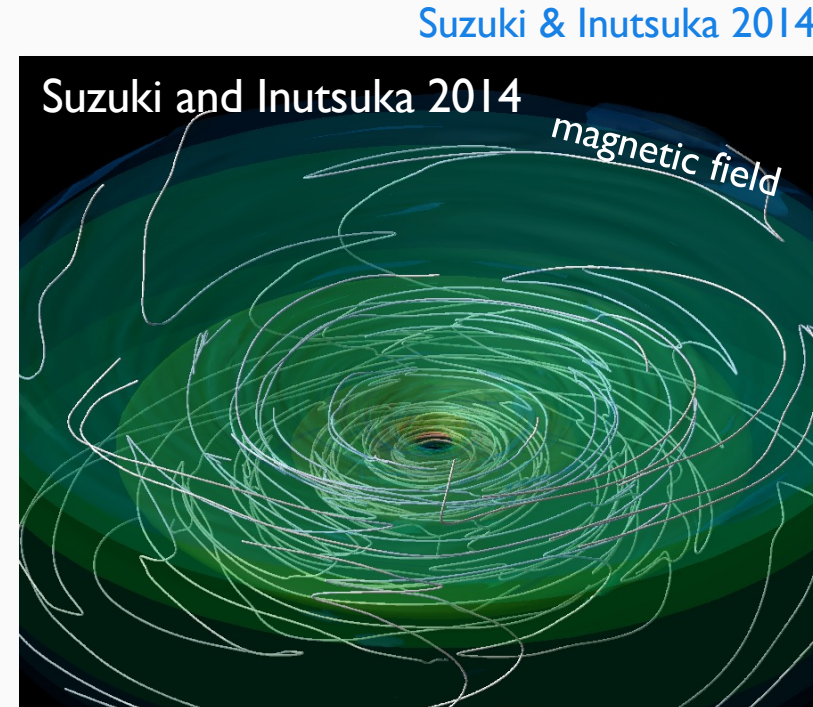
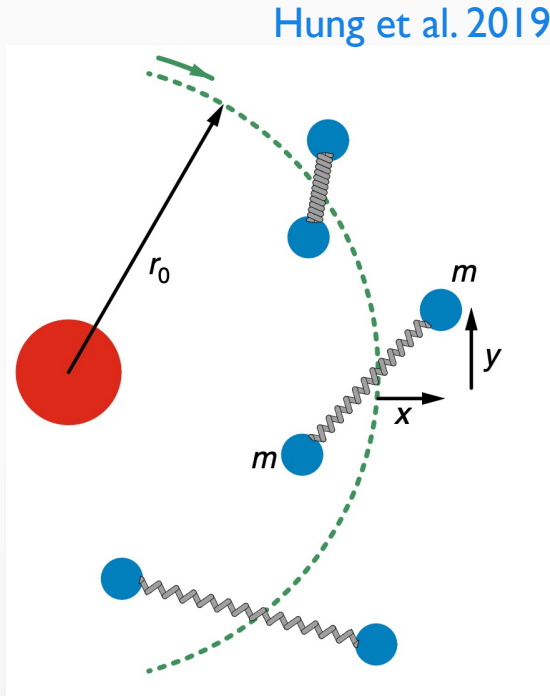


磁気流体力学に基づく 原始惑星系円盤の描像

Yasushi Ueda

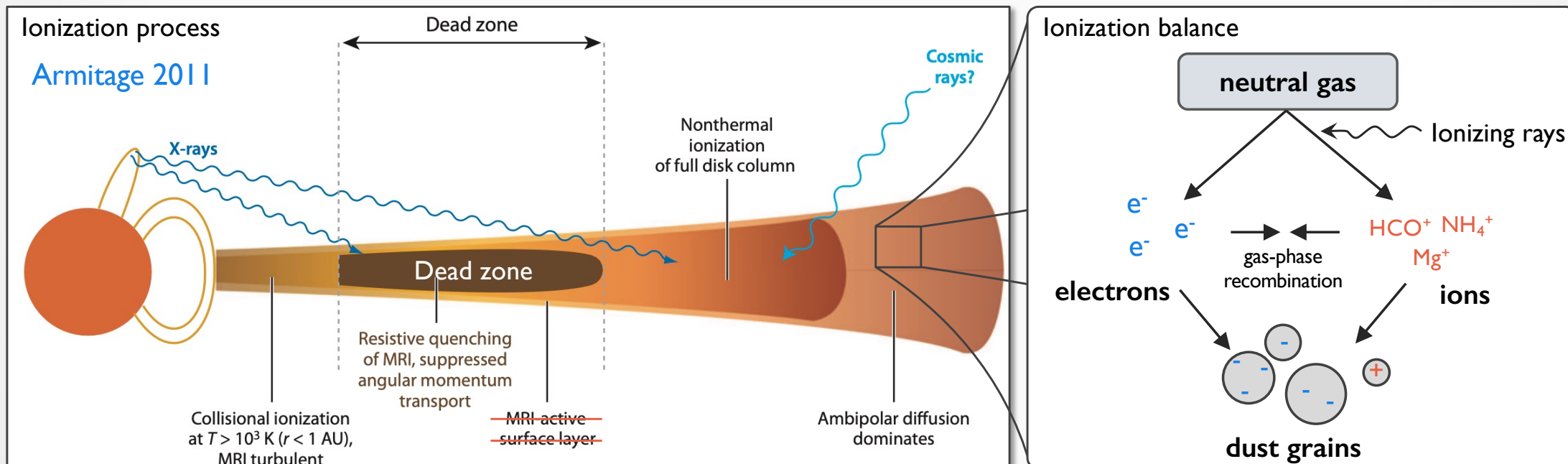
なにが円盤降着を駆動するか？乱流？

- 磁気回転不安定性 (MRI) 由来の乱流は強い乱流を作れる
(Balbus & Hawley 1991; Hawley et al. 1995; Suzuki & Inutsuka 2009; Suzuki & Inutsuka 2014)
- 純粹な流体不安定も”それなり”的乱流を作ることができる
(Lyra & Umurahan 2018; see also Lesur et al. 2023, PPVII review)



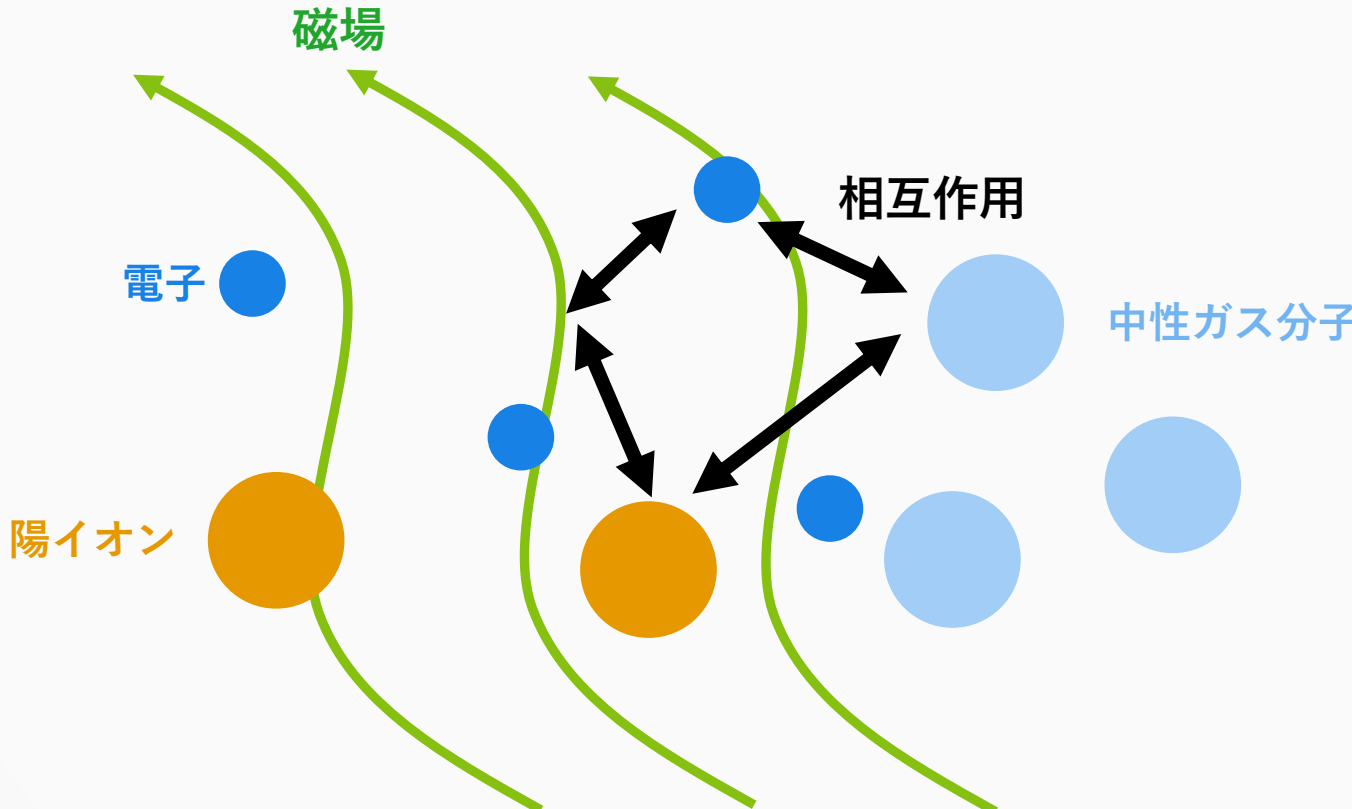
しかし円盤は基本的に弱電離

- 原始惑星系円盤は高密度・低温
 - 電離源（宇宙線、X線、FUV）は簡単に遮蔽されてしまう
 - ダストが荷電粒子を吸着する
- 中心星近傍～0.1 auでは熱電離で電離度高。円盤外側ではそれなりに電離。



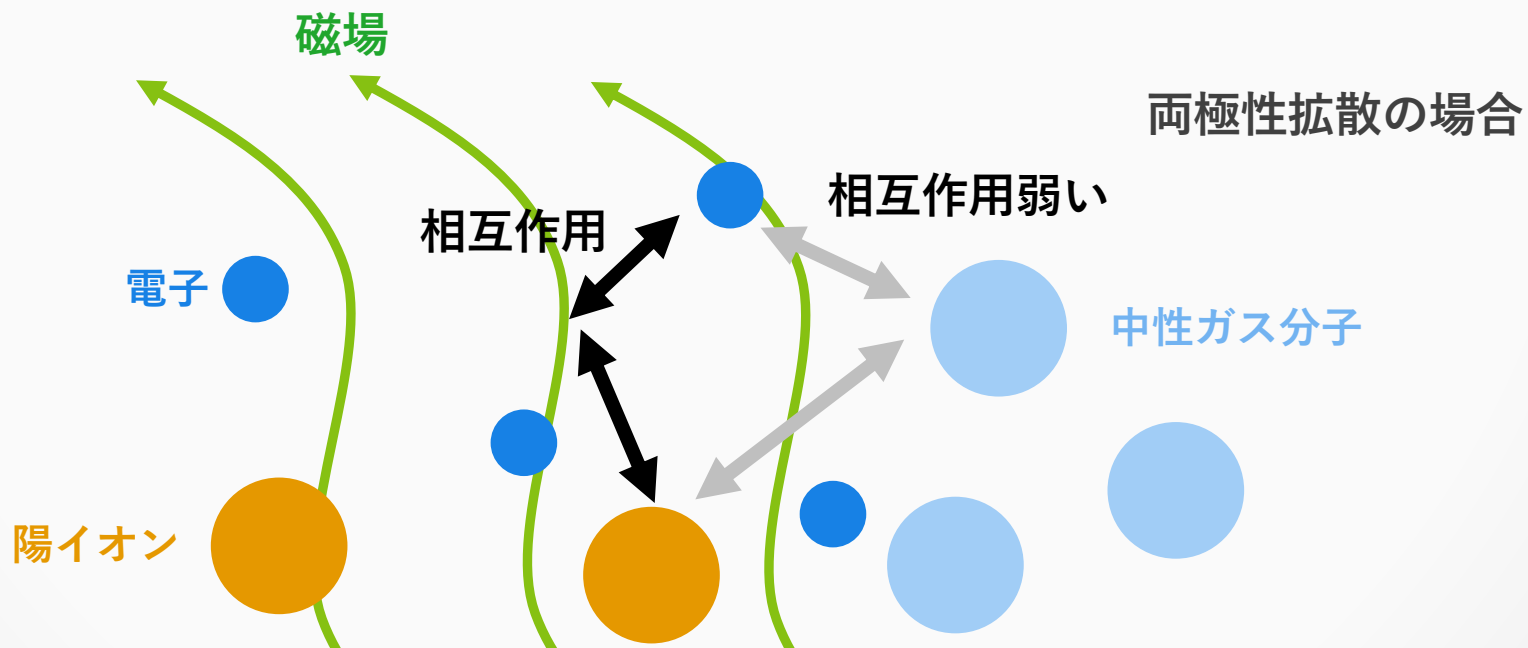
原始惑星系円盤の磁気流体力学(MHD)

- 電離度が高い → 磁場とガスが荷電粒子を介して共に運動



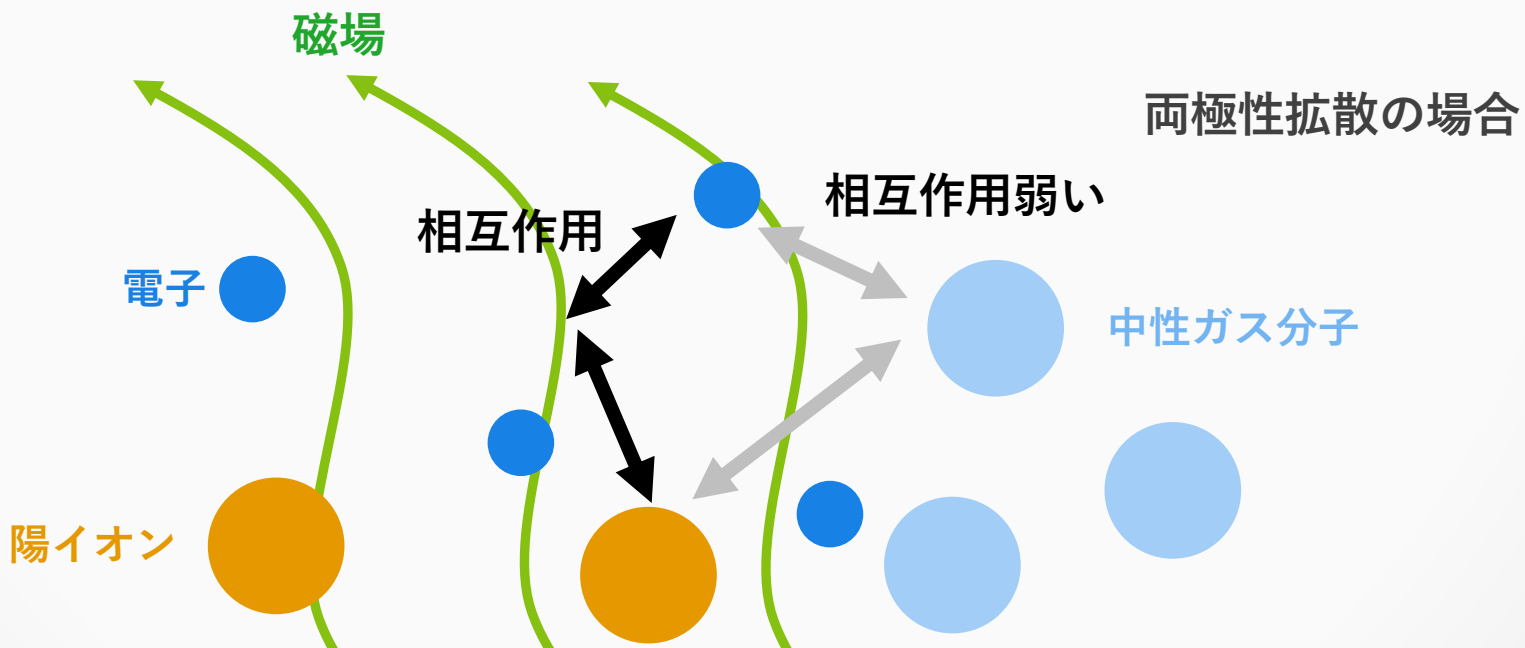
原始惑星系円盤の”非理想”磁気流体力学(MHD)

- 電離度が高い → 磁場とガスが荷電粒子を介して共に運動
- 電離度が低い → 磁場とガスが分離



原始惑星系円盤の”非理想”磁気流体力学(MHD)

- 電離度が高い → 磁場とガスが荷電粒子を介して共に運動
- 電離度が低い → 磁場とガスが分離
- 3つの非理想MHD効果：オーム散逸、両極性拡散、ホール効果
 - オーム散逸と両極性拡散：磁場を拡散させる
 - ホール効果：磁場の向きに依存して、磁場を増幅または減衰させる

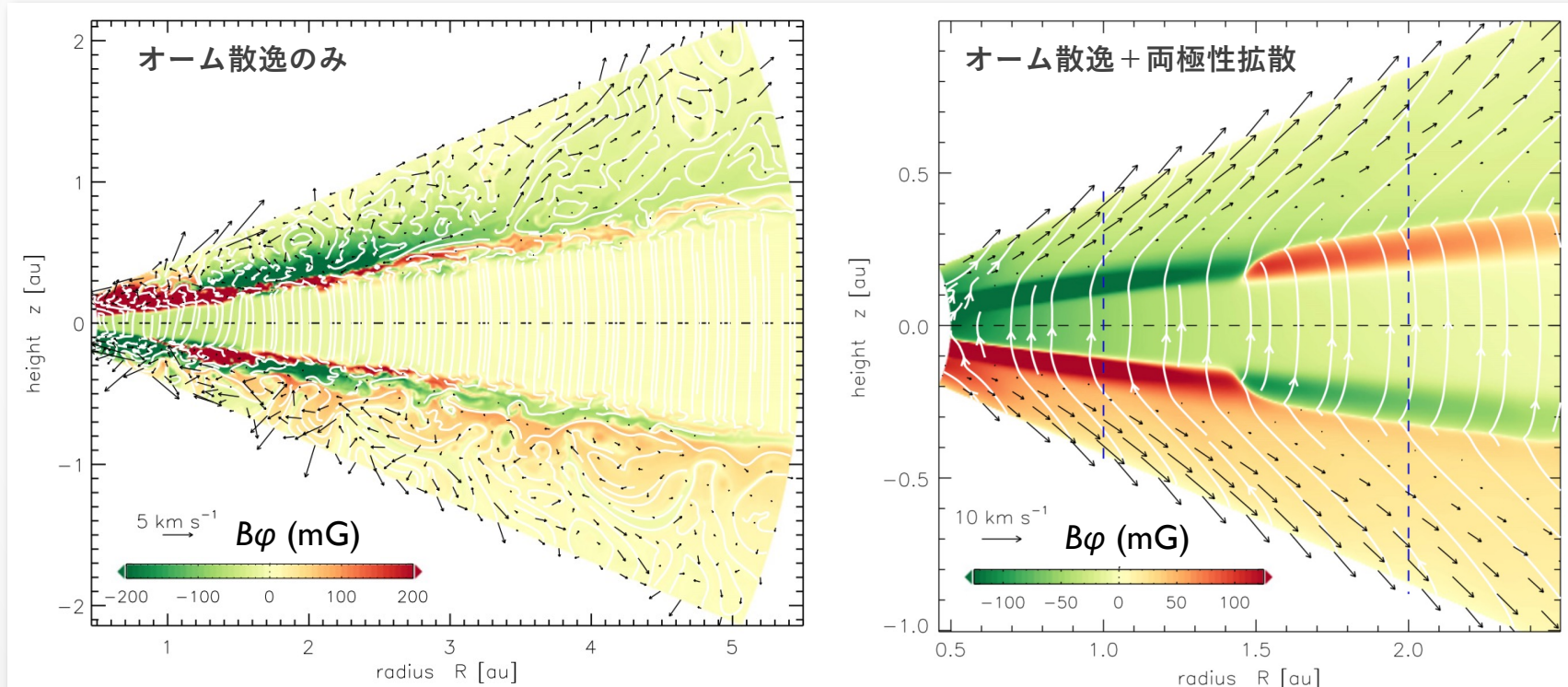


非理想MHD効果が円盤内側領域のMRI乱流を安定化

(e.g. Fleming+00; Turner & Sano 08; Bai & Stone 13; Gressel+15; Bai 17)

- オーム散逸が円盤内部のMRIを抑制
- 両極性拡散が円盤表面のMRIを抑制

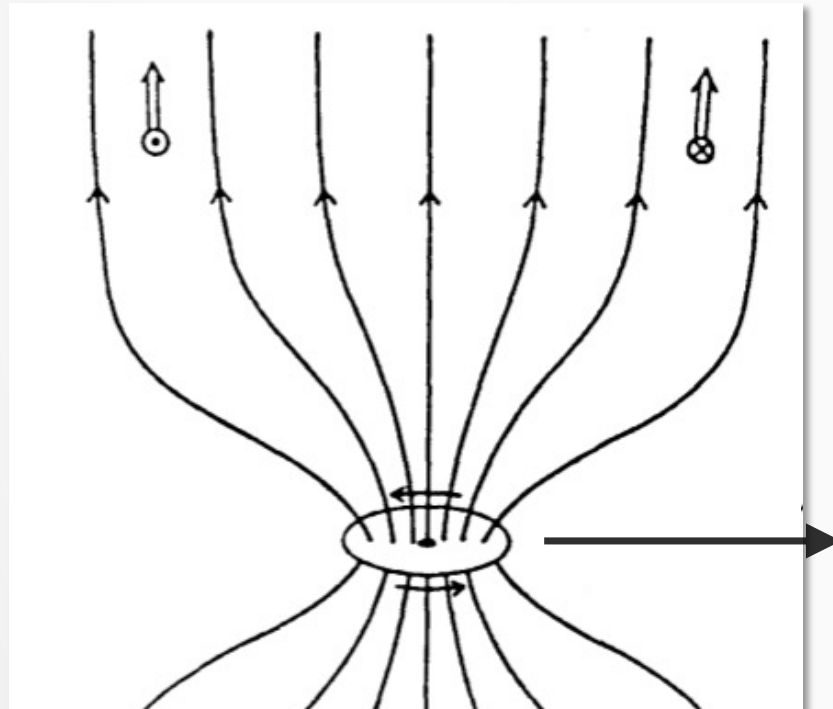
Gressel et al. (2015)



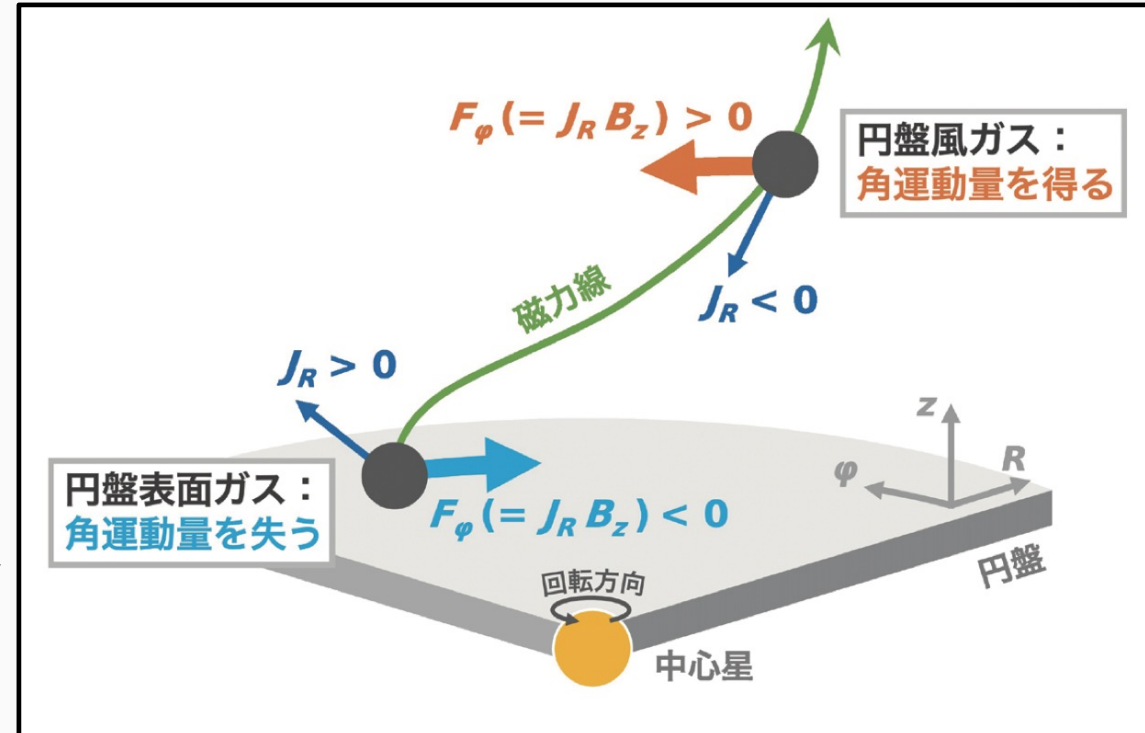
大局的な磁場が円盤降着を引き起こす

- 円盤風を伴う磁気応力（磁気制動）は降着を引き起こす
(e.g., Uchida & Shibata 1985; Bai & Stone 2013)
 - 磁力線に沿って角運動量を輸送
 - Class II 円盤の典型的な降着率 ($\sim 10^{-8} \text{ Msun/yr}$) を再現

Uchida & Shibata 1985



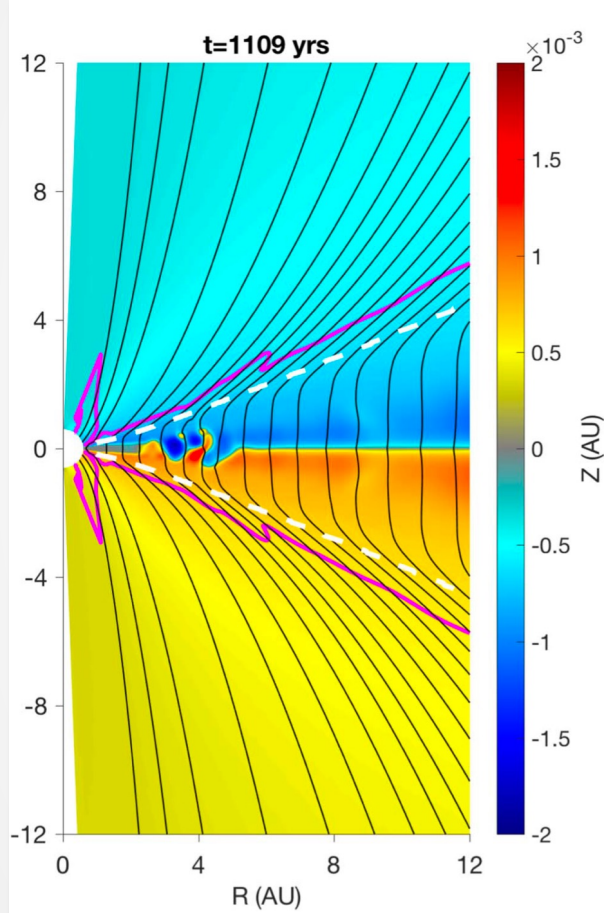
森昇志 (2021, 遊星人)



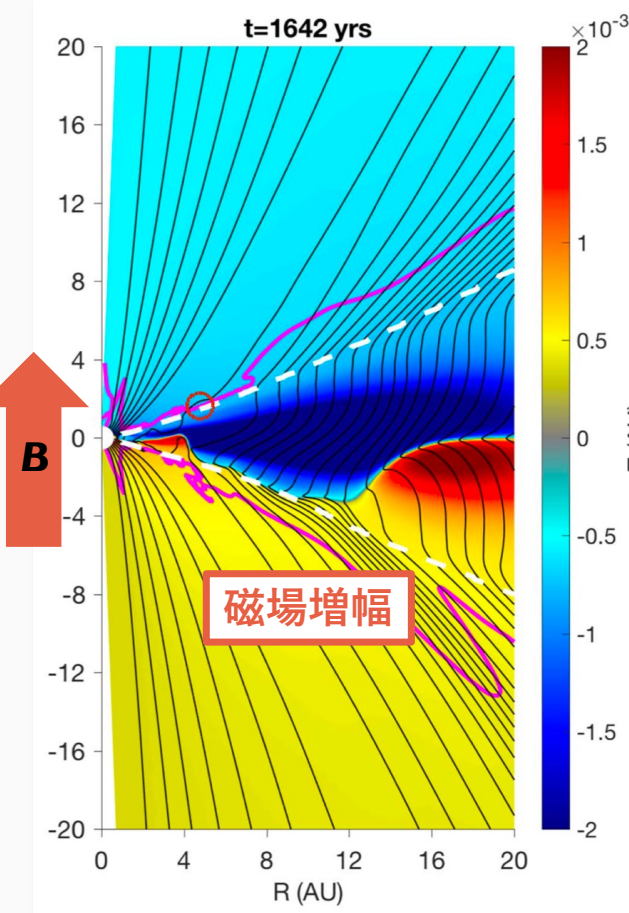
磁場の極性に依存するホール効果

Bai 2017

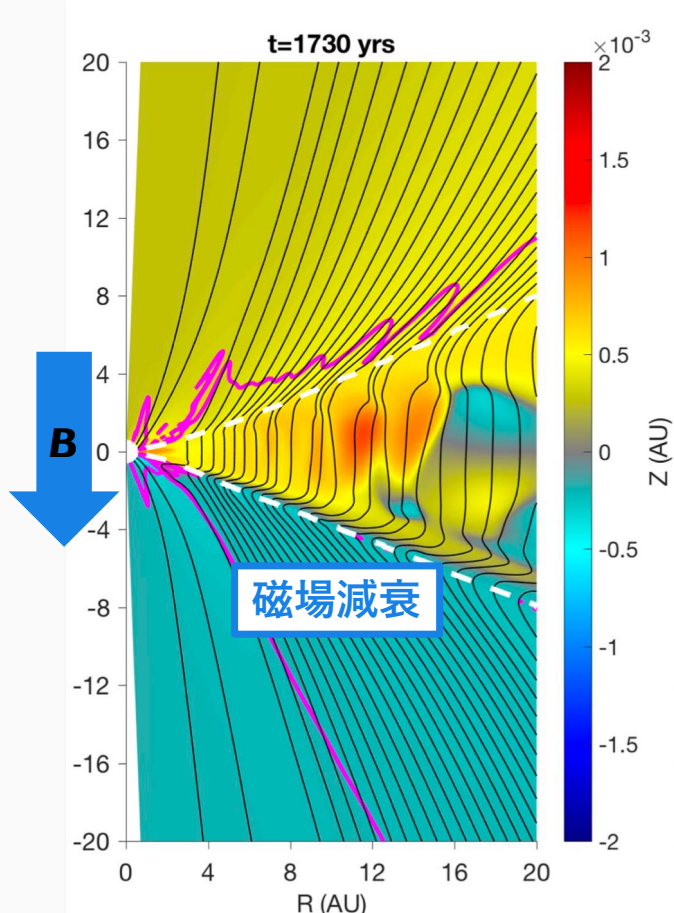
オーム散逸・両極性拡散のみ



ホール効果あり : $B \cdot \Omega > 0$



ホール効果あり : $B \cdot \Omega < 0$



層流的な磁気降着円盤における 円盤の温度構造

原始惑星系円盤の降着加熱の機構を明らかにする

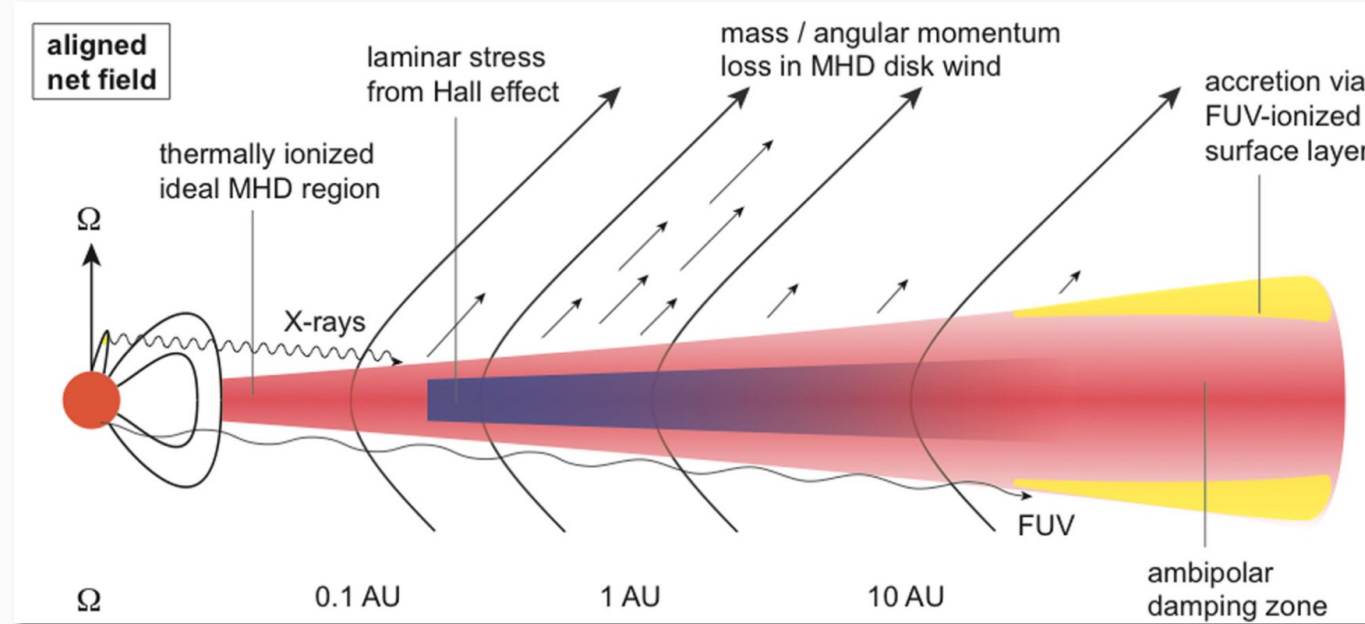
Hirose et al. 2011; Mori et al. 2019

これまで中心星から数auの領域は粘性加熱が支配的だった

→ MHDを考慮し、円盤の力学に基づいた降着加熱の描像を確立したい

MHDに基づく円盤の描像

Simon et al. 2015

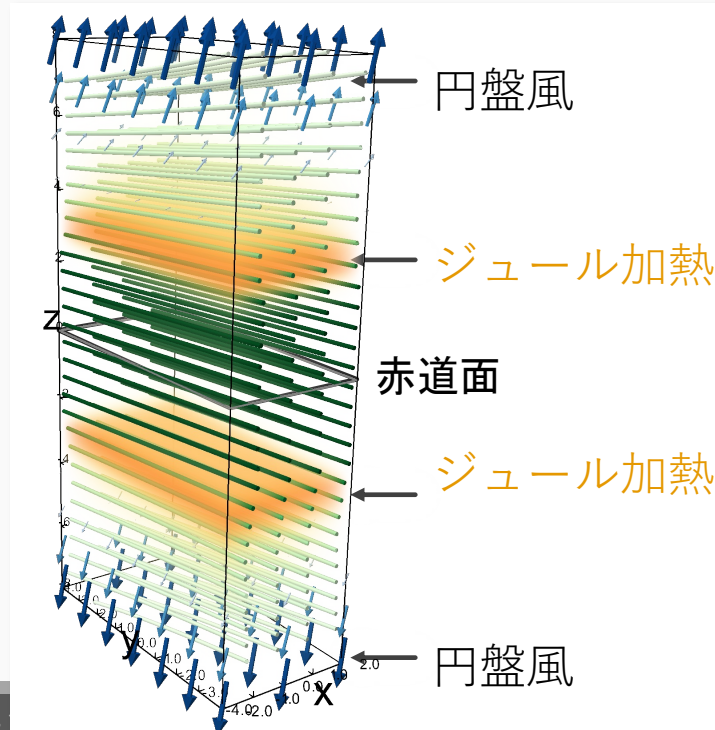
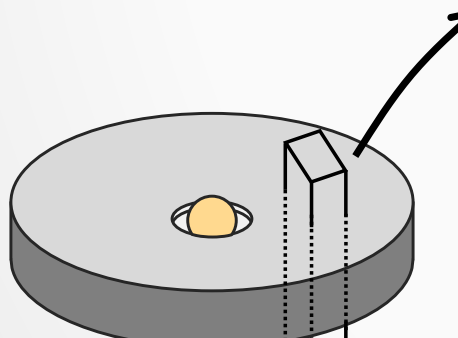


原始惑星系円盤の数auでの加熱高度を求める

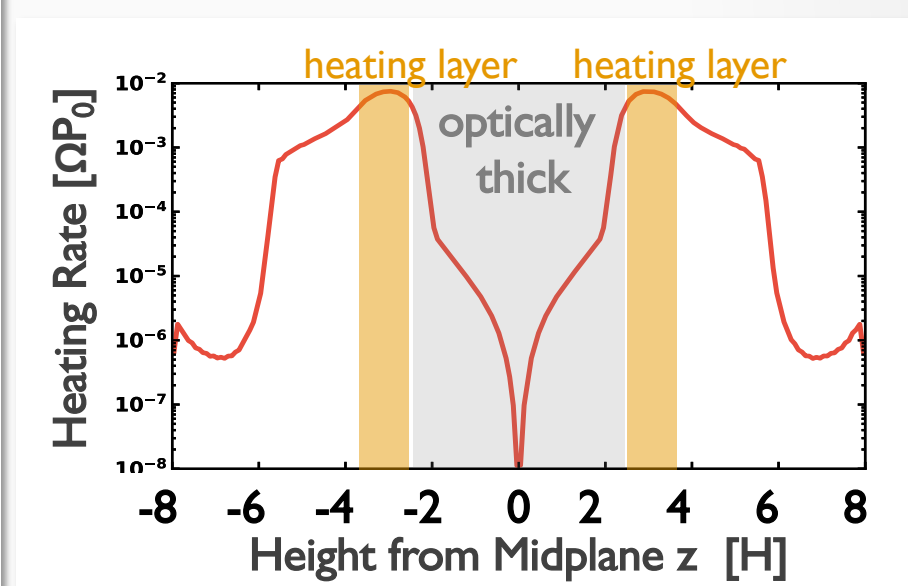
Mori et al. 2019

- 全ての非理想MHDを考慮した"局所計算"
 - 円盤のある一部分を取り出した計算領域
 - ケプラー回転はせん断流として考慮、曲率は無視

→ 降着エネルギーの散逸(=ジュール加熱)が高い高度で起きる



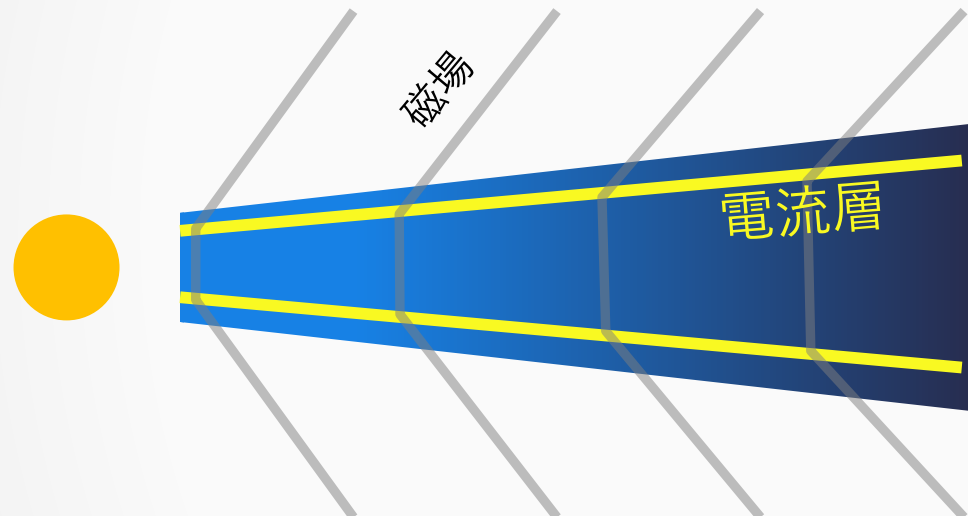
森 昇志 「磁気流体力学」



「系円盤の温度構造」

局所シミュレーションから得られる予想

磁気降着層流円盤



古典的粘性円盤



スノーラインの位置は？ → ID円盤温度モデル

Mori, Okuzumi, Kunitomo, Bai 2021

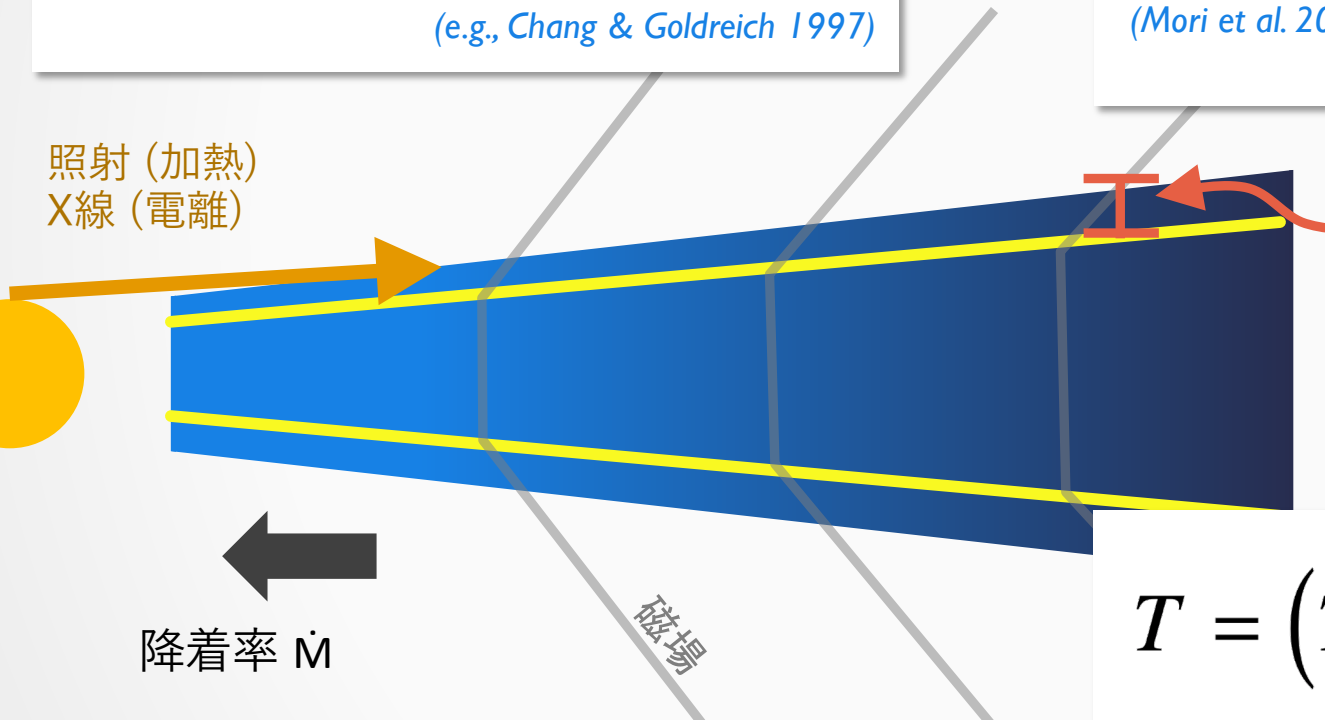
$$T_{\text{irr}} = 110 \left(\frac{r}{1 \text{ au}} \right)^{-3/7} \left(\frac{L}{L_{\odot}} \right)^{2/7} \left(\frac{M}{M_{\odot}} \right)^{-1/7} \text{ K}$$

(e.g., Chang & Goldreich 1997)

$$T_{\text{acc, MHD}} = \left[\left(\frac{3\dot{M}\Omega^2 f_{\text{heat}}}{32\pi\sigma} \right) \left(\frac{\tau_{\text{heat}} + \frac{1}{\sqrt{3}}}{\kappa R} \right) \right]^{1/4}$$

(Mori et al. 2019)

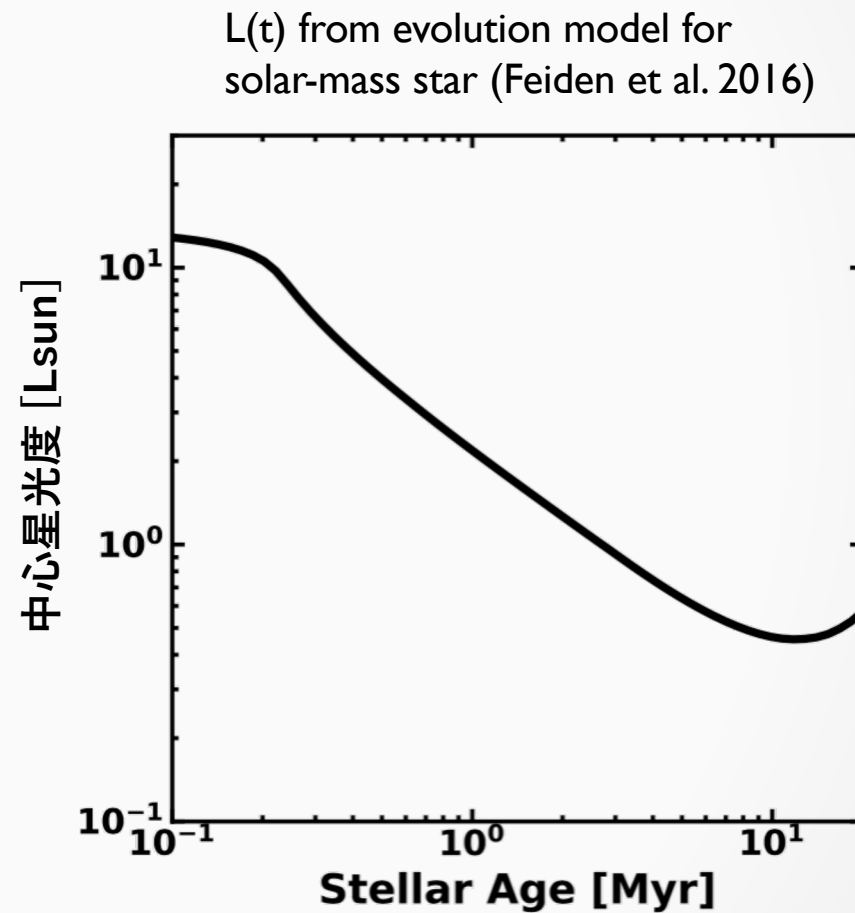
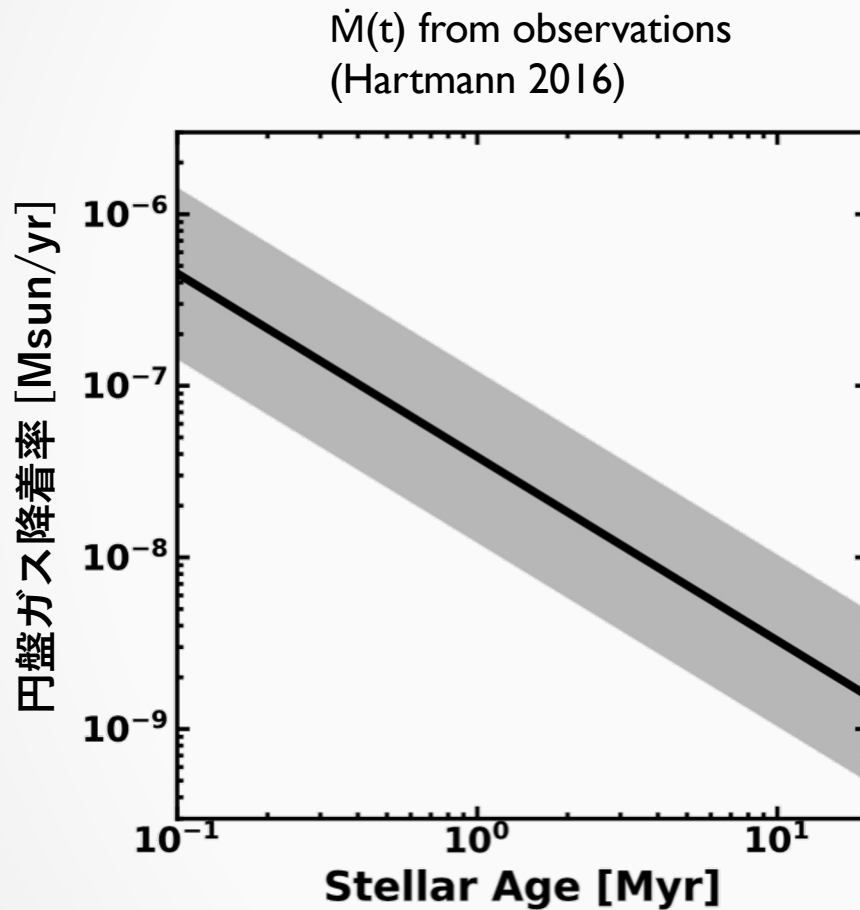
$\kappa R \Sigma_{\text{heat}}$



$\Sigma_{\text{heat}} =$ 加熱高度での柱密度
加熱高度 ~ 両極性拡散が弱くなる高度

$$T = \left(T_{\text{irr}}^4 + T_{\text{acc, MHD}}^4 \right)^{1/4}$$

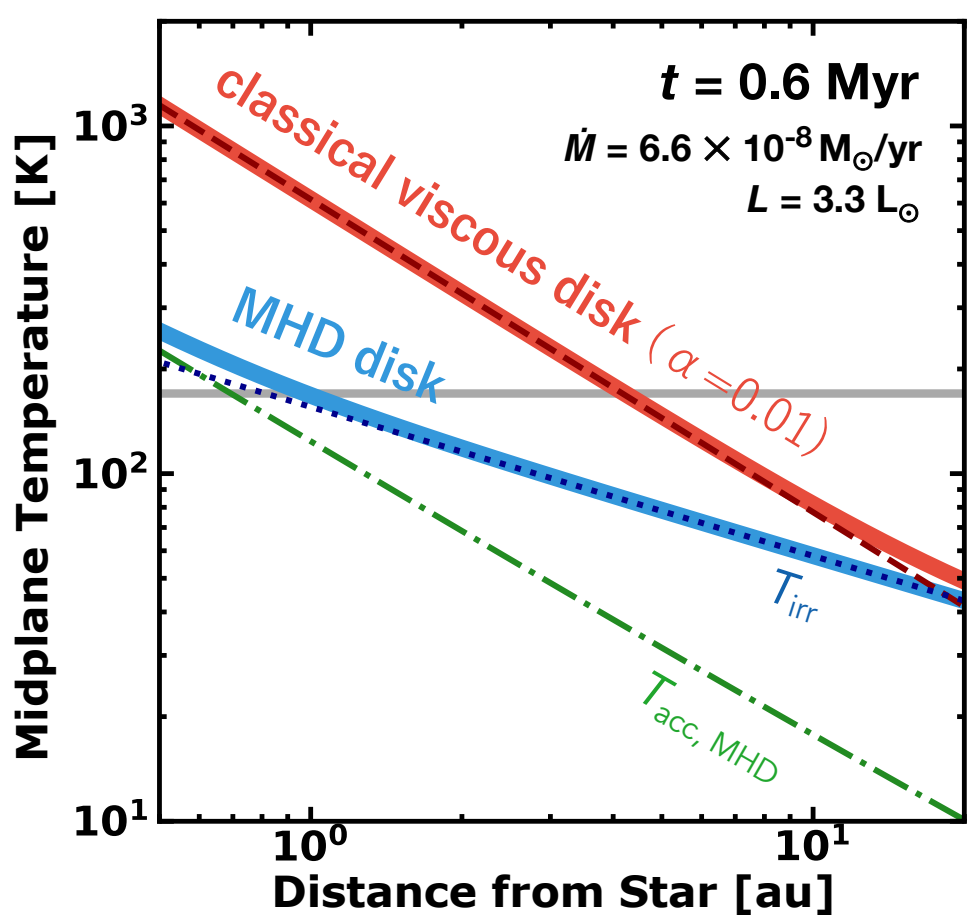
円盤ガス降着率と星光度の時間進化を考慮



Midplane Temperature Profile

$\kappa = 5 \text{ cm}^2 \text{ g}^{-1}$, $d/g = 0.01$, grain size = 0.1 μm

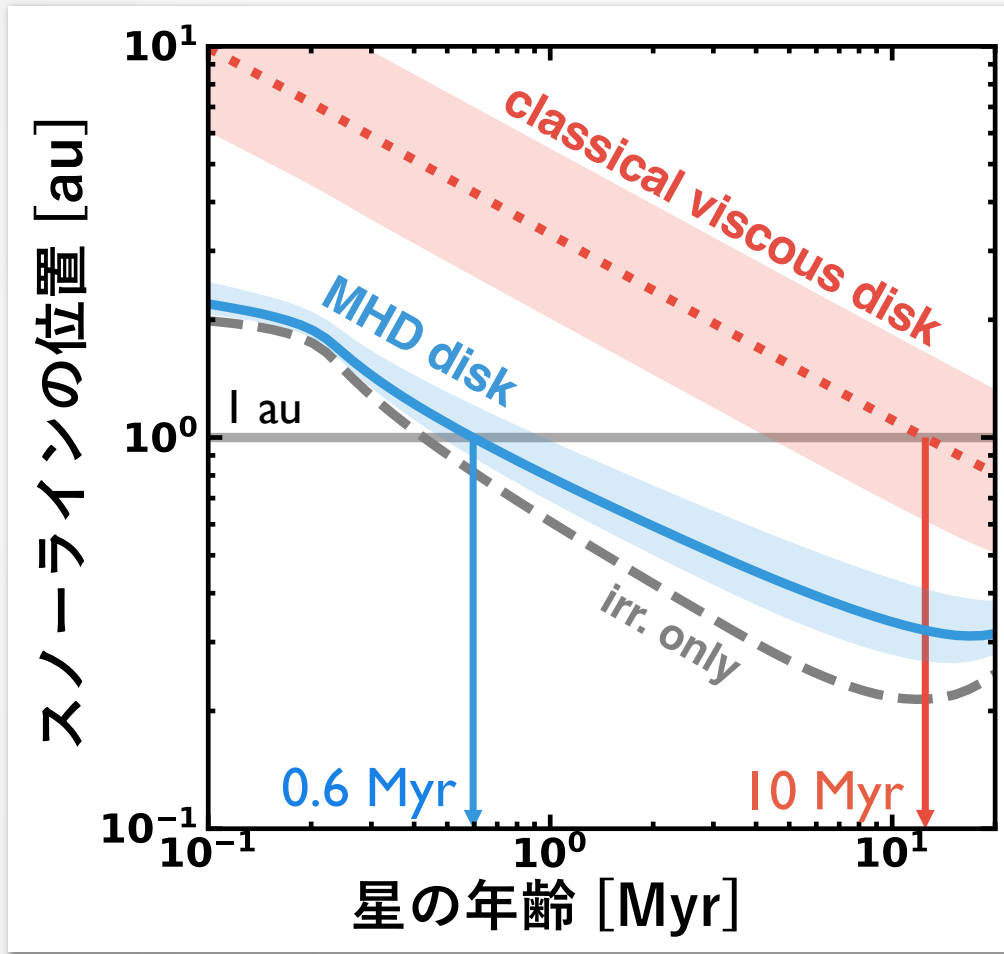
Mori, Okuzumi, Kunitomo, Bai 2021



- 粘性加熱より冷たい円盤に
 - 非効率な降着加熱
 - 数auでも照射加熱が支配的

Migration of Snow Line

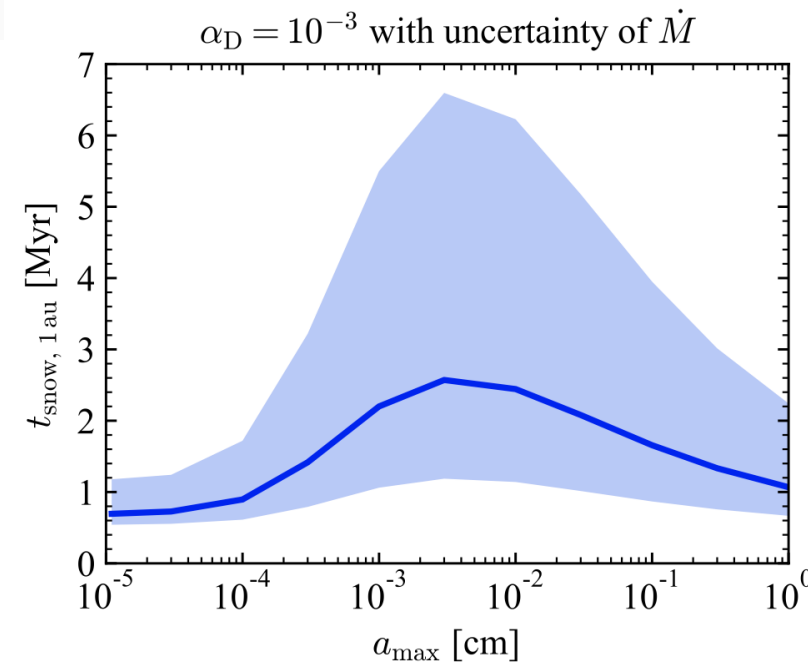
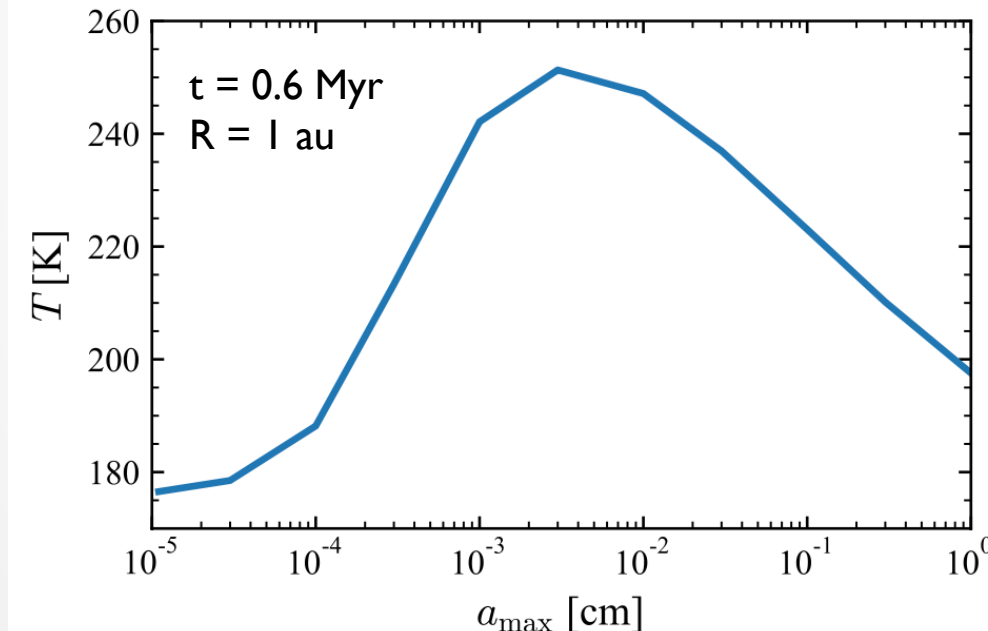
Mori, Okuzumi, Kunitomo, Bai 2021



ダスト成長の効果

Kondo, Okuzumi, Mori (2023)

- 表層加熱はダストのサイズ・空間分布に依存
 - Mori et al. (2021) は シングルサイズ $a = 0.1 \text{ um}$ を仮定
 - ダストが成長すると、電離度が減少(加熱高度の減少) + オパシティの減少(保温効果の上昇)
- あるサイズ分布 ($a_{\min} = 0.1 \text{ um}$, $a_{\max} = \text{変数}$) の整合的な電離度とオパシティを計算
→ 温度分布・スノーラインの到達時間 共に ダストの最大サイズに依存



輻射輸送入り 大局的 2D 非理想MHD計算

降着に伴うエネルギー輸送・大局的な磁場構造が作る電流を考慮

- Athena++ ([Bai 2017, Stone et al. 2021](#))

- 非理想 MHD 効果を考慮

$$\frac{\partial \mathbf{B}}{\partial t} = \nabla \times (\mathbf{v} \times \mathbf{B}) - \frac{4\pi}{c} \nabla \times (\eta_O \mathbf{J} + \eta_H \mathbf{J} \times \mathbf{b} + \eta_A \mathbf{J}_\perp),$$

Ohmic diff. Hall effect Ambipolar diff.

- 各係数は電離度計算から求める
- 電離率は柱密度に依存
 - r 方向, θ 方向の柱密度を計算
 - ダスト : 0.1um 粒子, $f_{dg} = 10^{-2}$

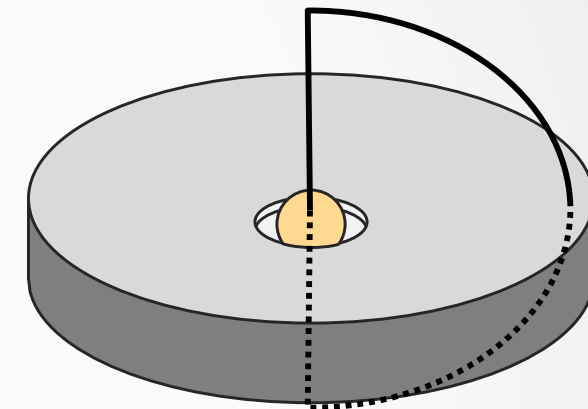
- 簡単化した輻射輸送

$$\frac{\partial \rho u}{\partial t} = \dots + Q_{\text{rad}} \quad \text{where}$$

$$Q_{\text{rad}} = \boxed{\exp(-\tau_\theta) Q_{\text{thin}}} - \boxed{\nabla \cdot [\exp(-1/\tau_\theta) \mathbf{F}_{\text{thick}}]}$$

$$Q_{\text{thin}} = -4\rho\kappa_P\sigma(T^4 - T_{\text{thin}}^4) \quad \& \quad T_{\text{thin}}^4 = (T_{\text{opt}}(r) \exp(-\tau_r))^4 + T_{\text{re}}^4$$

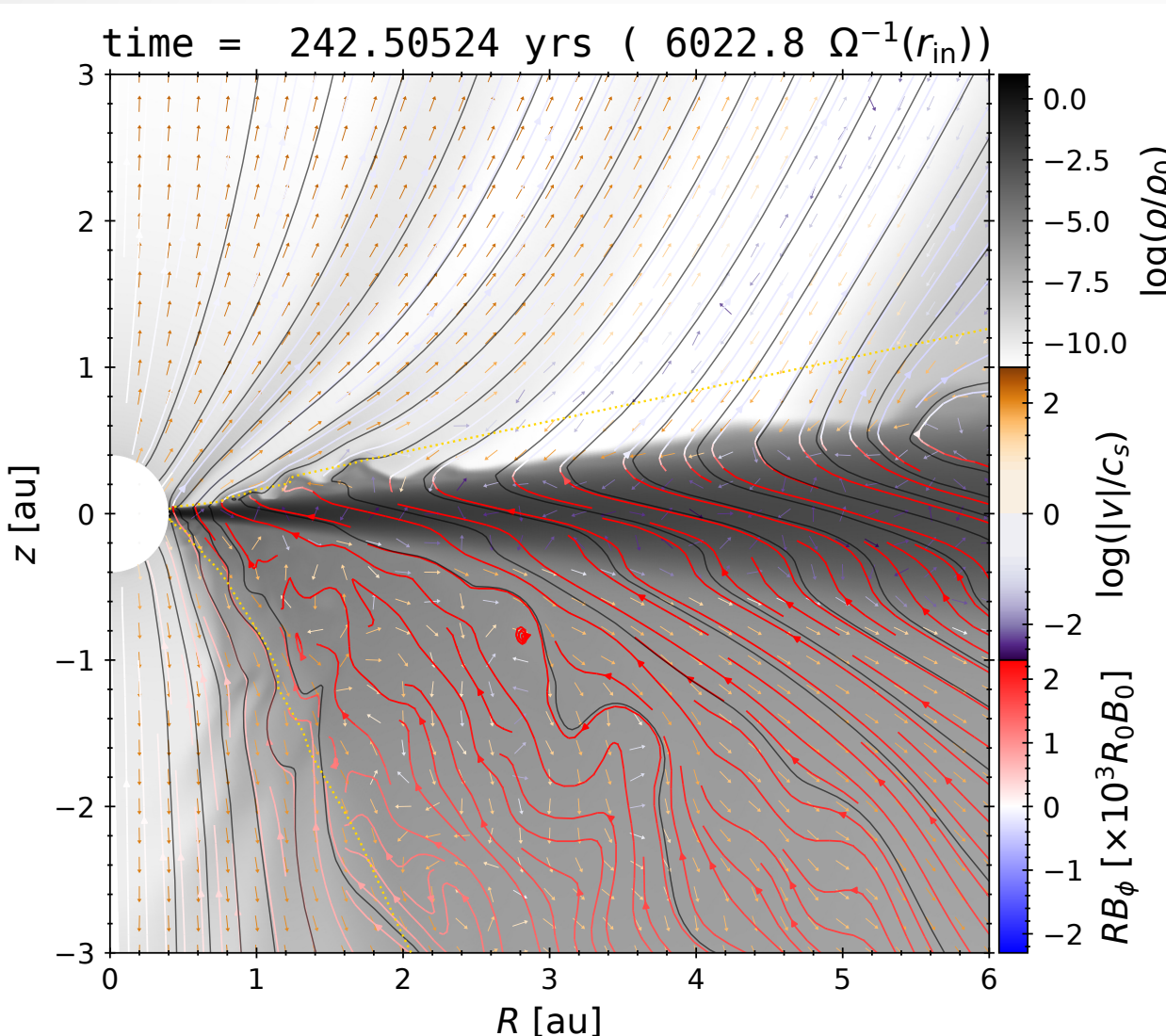
T_{re}^4 : reemitted radiation intensity; RT eq. is integrated along θ



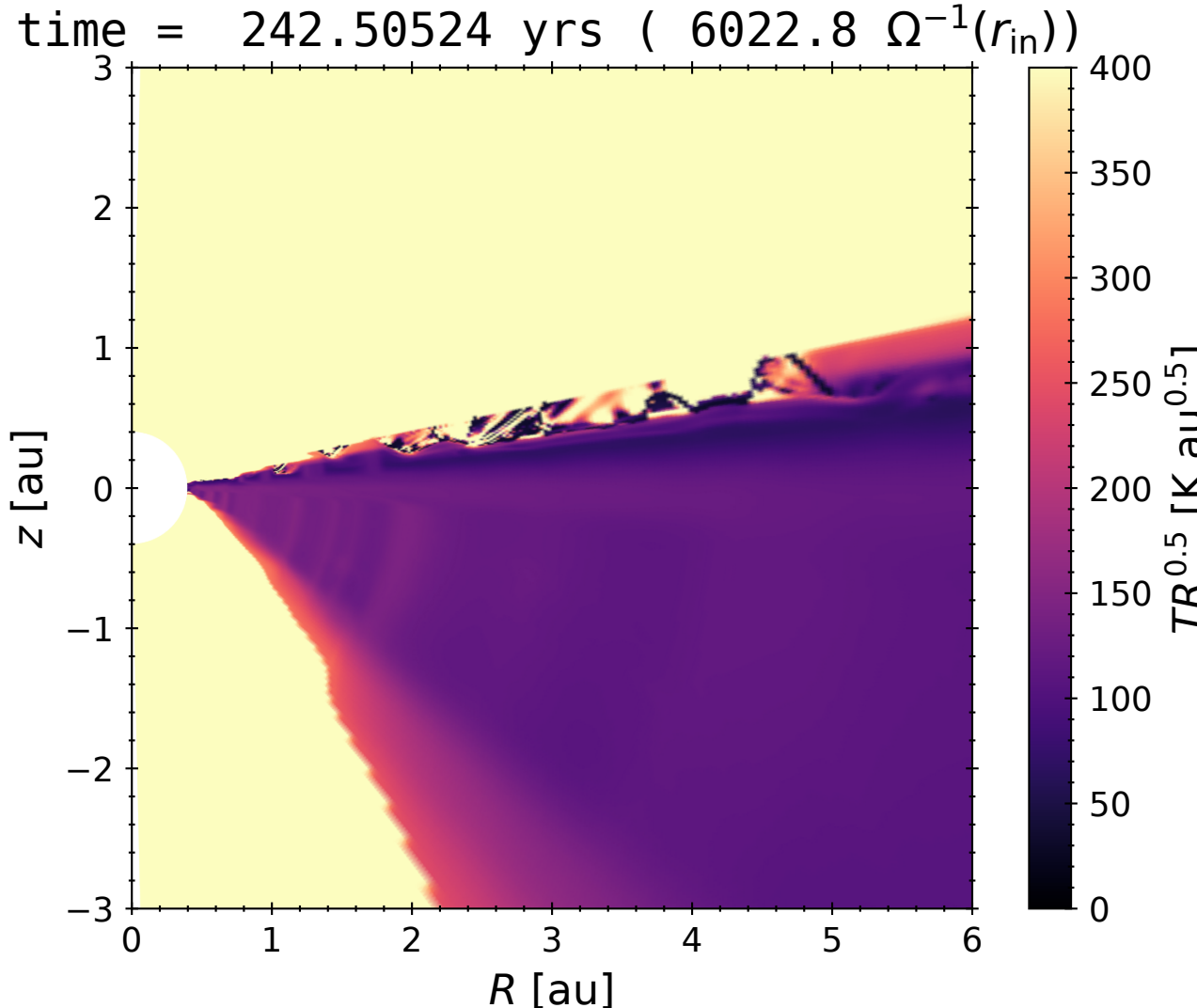
$$\mathbf{F}_{\text{thick}} = -\frac{4\sigma}{3\rho k} \nabla T^4$$

Diffusion approximation

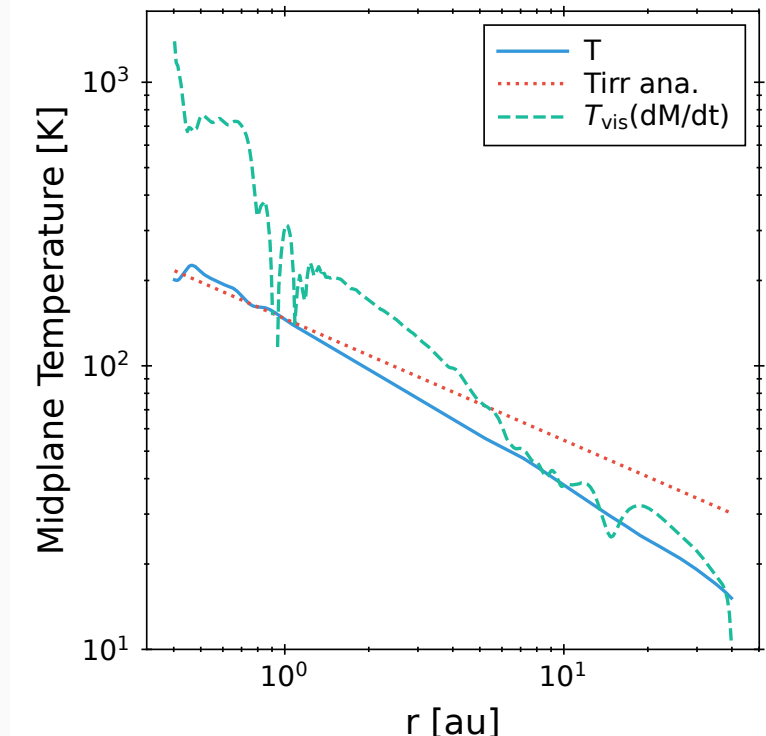
計算結果の例：密度分布



温度構造

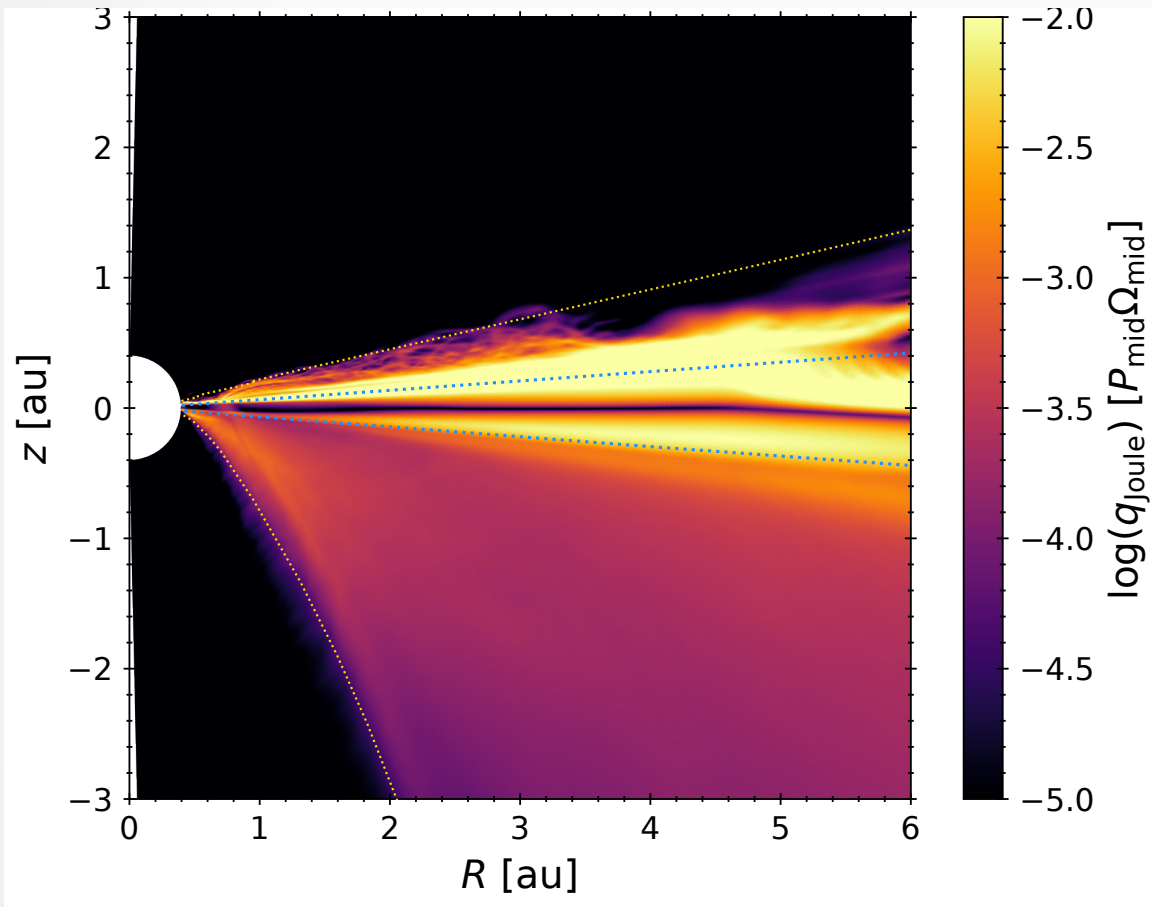


Time-averaged over $t = [200:260]$ yr



\dot{M} ~ $3 \times 10^{-8} - 2 \times 10^{-7} \text{ M}_{\odot}/\text{yr}$

加熱率分布



大局的な磁場は円盤表層で
ジューク加熱を起こす
円盤温度の上昇には寄与しない

まとめ

- 原始惑星系円盤の温度構造を知ることは、惑星の組成の成り立ちを知る上で欠かせない。
- 原始惑星系円盤では非理想MHD効果が働く。
しかしMHDは依然として重要な要素。
 - MRI乱流は抑制
 - 円盤降着は大局的な磁気応力によって駆動
 - ホール効果が円盤の磁気活動を二極化
- 非理想MHD効果によって、原始惑星系円盤では降着加熱は非効率となるだろう。
 - 加熱が上層で起きる
 - 具体的な効率は大局的なシュミレーションが必要